

Учебная лабораторная установка «Исследование характеристик волоконных световодов».

1. Общая характеристика установки.

На базе данной установки могут быть выполнены следующие лабораторные работы.

1. Качественное исследование модового состава волоконных световодов.

2. Экспериментальное измерение числовой апертуры волоконных световодов.

3. Экспериментальное измерение потерь, вносимых изогнутым участком волоконного световода на двух длинах волн.

4. Качественное исследование эффекта скремблирования мод, распространяющихся в волоконных световодах.

Выполнение перечисленных выше лабораторных работ позволяет:

- определить причину появления модовых шумов в волоконно-оптической линии связи;

- исследовать модовый состав волоконных световодов по распределению интенсивности в их поперечном сечении;

- экспериментально определить числовую апертуру волоконных световодов;

- оценить допустимые радиусы изгиба световодов и определить вносимый изгибом коэффициент затухания;

Состав лабораторного макета и его функциональная схема.

Лабораторный макет предполагает проведение измерений с помощью двух лазерных диодов на двух длинах волн $\lambda = 0,67 \text{ мкм}$ и $\lambda = 1,3 \text{ мкм}$ и одного светоизлучающего диода на длине волны $\lambda = 0,67 \text{ мкм}$.

Функциональная схема лабораторного макета приведена на рис.1. В его состав входят следующие элементы.

1. Источник оптического излучения – лазерный диод ЛД1 обеспечивающий излучение на длине волны $\lambda = 0,67 \text{ мкм}$. Мощность излучения зависит от тока накачки I_n и достигает величины 5мВт при $I_n=40\text{mA}$.

2. Источник оптического излучения – светоизлучающий диод СИД обеспечивающий излучение на длине волны $\lambda = 0,67 \text{ мкм}$. Мощность излучения зависит от тока накачки I_n и достигает величины 5мВт при $I_n=40\text{mA}$.

На корпусе ЛД1 имеется микрообъектив, позволяющий сфокусировать его излучение на торце волоконного световода. У СИД микрообъектив отсутствует.

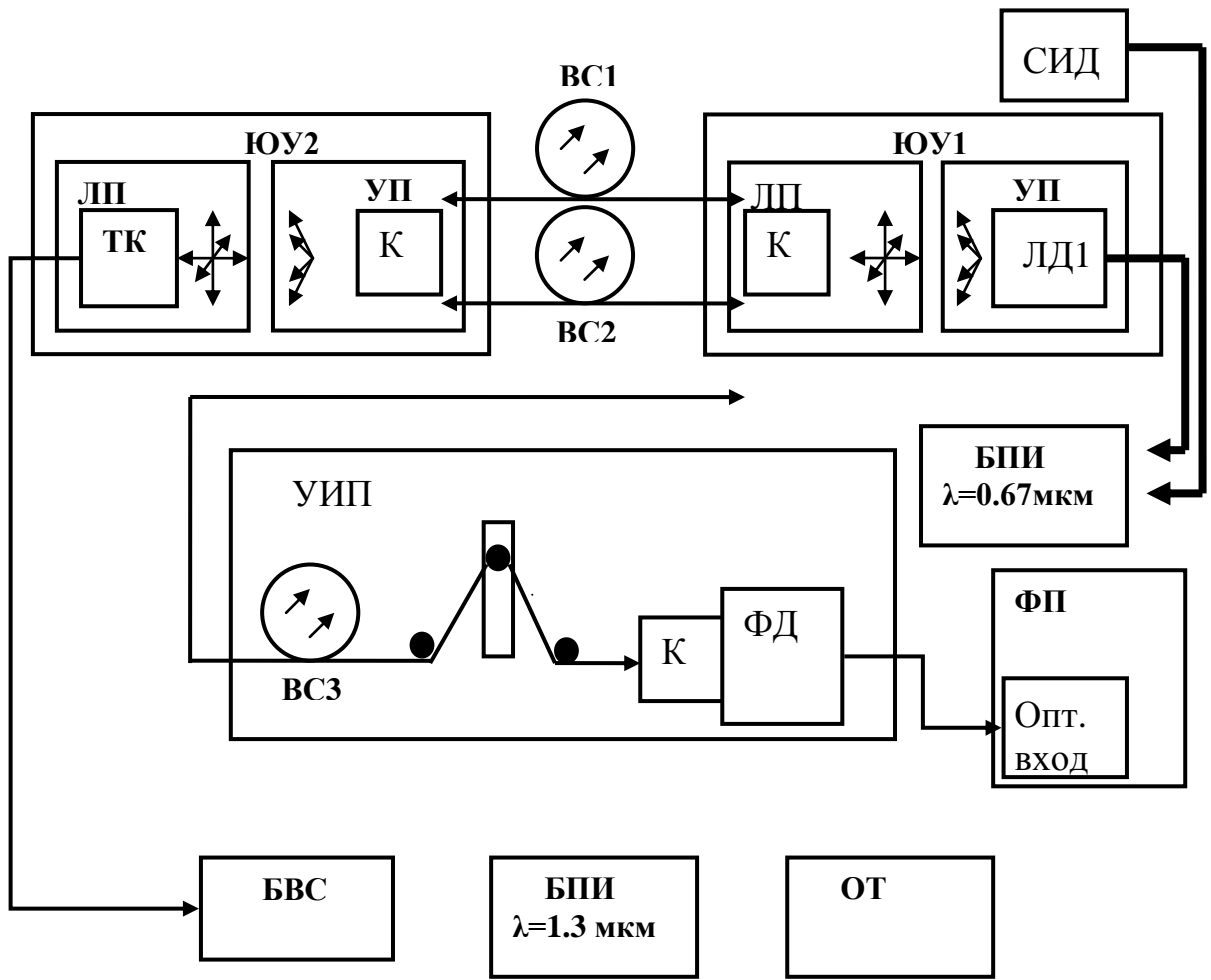


Рис. 1.

ЛД1 и СИД размещены в капролоновых корпусах одинакового диаметра и снабжены электрическими шнурами с разъемами РС4-ТВ для подключения к блоку питания.

В установке они располагаются в специальной оправке, позволяющей производить их оперативную смену в процессе измерений.

3.Блок питания источника излучения (БПИ $\lambda=0.67$ мкм). На рис.2 показана лицевая панель блока. ЛД1 и СИД подключаются к нему с помощью шнура питания с разъемом РС4-ТВ. Блочная часть разъема находится на лицевой панели и снабжена надписью «**ОПТИЧЕСКИЙ ВЫХОД**».

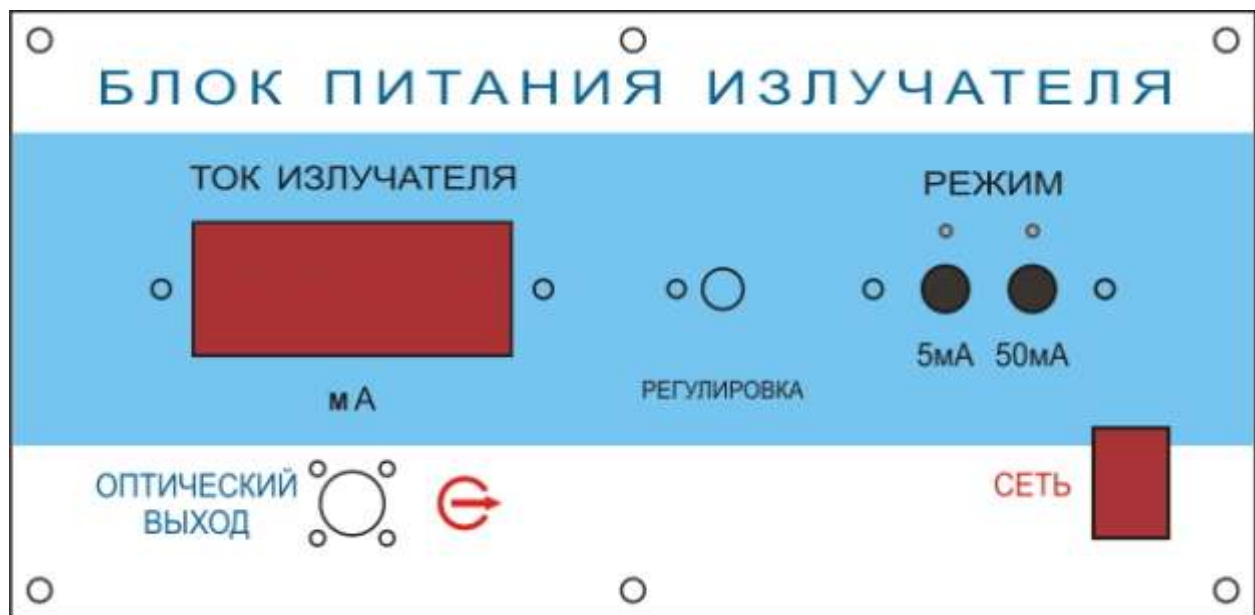


Рис.2.

Блок предусматривает возможность:

-регулировки тока накачки с помощью потенциометра ручка которого выведена на лицевую панель. Изменение тока накачки позволяет изменять мощность излучения лазерного диода;

-переключение пределов изменения тока накачки (5, 50 мА) с помощью кнопочного переключателя;

-регистрации тока накачки с помощью цифрового индикатора «ТОК ИЗЛУЧАТЕЛЯ».

Питание БПИ осуществляется от сети 220v / 50Hz. Включение блока осуществляется тумблером с подсветкой «СЕТЬ» на лицевой панели.

4.Блок питания источника излучения (БПИ $\lambda=1.3$ мкм). Лицевая панель блока показана на рис.3.



Рис.3.

Блок содержит те же органы управления, что и предыдущий. Отличие заключается в том, что в качестве выходного вместо электрического разъема PC4-TB установлена оптическая розетка FC-SM. К ней непосредственно подключается разъем волоконного световода.

4.Фотодиод ФД для регистрации излучения на длине волны $\lambda = 0,67$ мкм размещенный в цилиндрическом корпусе на штативе и снабженный шнуром питания с разъемом PC4-TB для подключения к блоку фотоприемника. В корпус фотодиода вставляется оправка, к которой крепится коннектор К исследуемого световода.

5.Фотоприемник ФП для регистрации излучения на длине волны $\lambda = 0,67$ мкм. На рис.4 показана лицевая панель блока ФП. Фотодиод подключается к нему с помощью шнура питания с разъемом PC4-TB. Блочная часть разъема находится на лицевой панели и снабжена надписью «**ОПТИЧЕСКИЙ ВХОД**».

Блок предусматривает возможность переключения пределов измерения оптической мощности. Для этого на лицевой панели имеется кнопочный переключатель «**ЧУВСТВИТЕЛЬНОСТЬ**». Нажатие кнопок «**0,001; 0,01; 0,1; 1**» на лицевой панели приводит к изменению коэффициента усиления фототока.

Для контроля оптической мощности на лицевой панели ФП имеется цифровой индикатор «**ОПТИЧЕСКАЯ МОЩНОСТЬ, ОТН. ЕД.**». Оптическое излучение, попадающее на чувствительную площадку фотодиода, вызывает изменение тока (фототока), протекающего через его r_p переход. Фототок прямо пропорционален значению оптической мощности на чувствительной площадке фотодиода. Поэтому показания цифрового индикатора пропорциональны этой мощности, но не равны ей. Измерение с помощью фотоприемника осуществляется в относительных единицах.

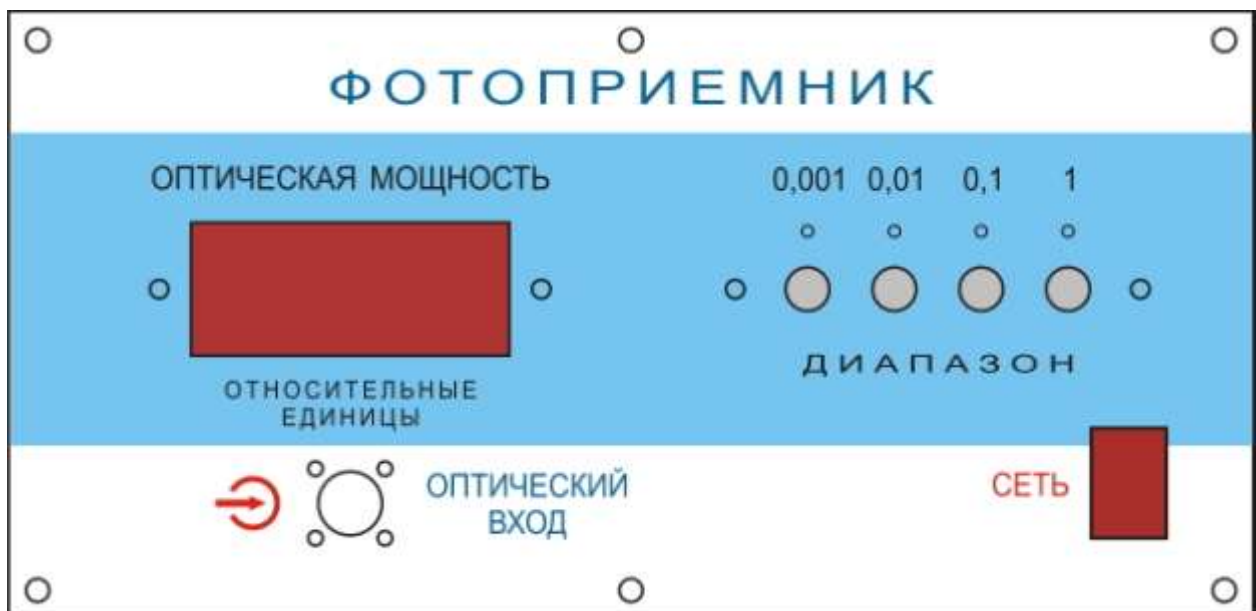


Рис.4

6. **Оптический тестер OT-** для регистрации излучения на длине волны $\lambda = 1.3$ мкм.

7. Два отрезка волоконных световодов BC1,2 :

- одномодовый световод без защитной оболочки (желтый цвет буферного покрытия) с коннекторами типа FC –UPS;

- многомодовый световод (зеленый цвет защитной оболочки) с коннекторами типа FC - PC;

С элементами оптической схемы лабораторной установки коннекторы ВС соединяются с помощью специальных оправок (К), которые крепятся в узлах юстировочных устройств (их описание приводится ниже).

8. **Телекамера (TK),** которая служит для анализа излучения из торца исследуемого световода, находящегося в поле зрения телекамеры. Изображение торца проектируется непосредственно на матрицу ПЗС. Микрообъектив отсутствует, что обеспечивает простоту измерений числовой апертуры волоконных световодов. Максимальное разрешение телекамеры – 700 лин/мм.

9. **Блок выбора строки (БВС),** с помощью которого производится анализ изображения торца исследуемого световода формируемого телекамерой. На рис. 5. показана лицевая панель этого блока.

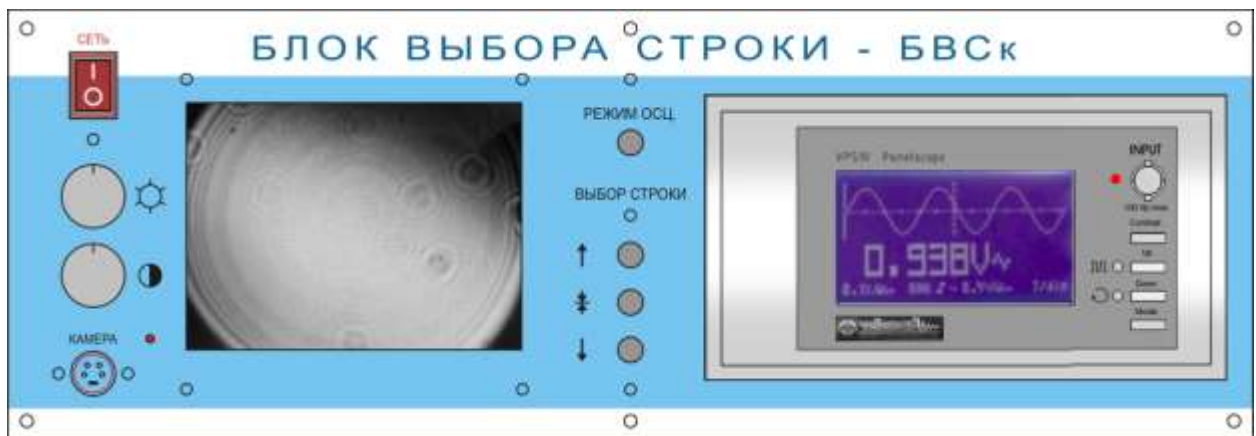


Рис.5.

В левой нижней части лицевой панели расположена блочная часть разъема «камера» для подключения шнура питания от телекамеры (рис.1).

В состав БВС входит черно-белый монитор, на экране которого наблюдается изображение формируемое телекамерой. В данной установке – это изображение светящегося торца исследуемого световода. Яркость и контрастность изображения регулируются с помощью потенциометров, ручки которых выведены на лицевую панель слева от монитора.

Предусмотрена возможность выделения одной строки изображения на экране монитора. Соответствующий сигнал анализируется с помощью осциллографа, входящего в состав БВС. Если на экран монитора выведено изображение светящегося торца исследуемого световода, то этот сигнал соответствует распределению интенсивности в его поперечном сечении.

Выделяемая строка отмечается на мониторе светлой горизонтальной полосой. Ее положение может изменяться с помощью органов управления,

расположенных слева от осциллографа. Перемещение выделяемой строки по вертикали осуществляется с помощью трех кнопок, обозначенных символами «↑», «↓», «+». С помощью кнопок «↑», «↓» осуществляется передвижение выделяемой строки вверх или вниз по изображению на экране монитора. Кнопка «+» устанавливает выделяемую строку в середину изображения.

10. Два юстировочных устройства (ЮУ1, ЮУ2). Они обеспечивают:
-взаимную юстировку торца исследуемого световода и источника ЛД2 (ЮУ1). Данная регулировка позволяет изменять уровень оптической мощности, вводимой в исследуемый световод, для обеспечения удобства проведения измерений;

-взаимную юстировку торца исследуемого световода и телекамеры (ЮУ2).

Устройства отличаются только видом оправок, в которых закреплены необходимые элементы. Органы их управления одинаковы.

Каждое устройство состоит из двух узлов. Один из них осуществляет линейное перемещение оправки с закрепленным элементом по трем взаимно перпендикулярным направлениям:

- линейное поперечное (ЛПП);
- линейное продольное (ЛПР);
- линейное вертикальное (ЛВ).

Второй узел осуществляет угловое перемещение (поворот) оправки с закрепленным элементом в двух взаимно перпендикулярных плоскостях:

- вертикальной (УВ);
- горизонтальной (УГ).

Эскиз узла, осуществляющего линейное перемещение, приведен на рис. 6. Он состоит из трех частей, каждая из которых обеспечивает перемещение в одном из трех взаимно перпендикулярных направлений. На рис.6 показан эскиз части узла, обеспечивающей продольное перемещение. Конструкции частей однотипны и состоят из:

- трех оснований (горизонтального 1, вертикального 2 и поперечного 3);
- трех пар направляющих и трех подвижных плат 5;
- трех винтов 6 с шагом резьбы 0.5мм, с помощью которых осуществляется перемещение подвижных плат 5;
- трех неподвижных фигурных гаек 7, в которых по резьбе перемещаются винты 6;
- трех упоров 8 для пружин 9 обеспечивающих устранение продольного люфта.

Три микрометрических винта в лабораторном макете снабжены маркировкой:

- ЛПР1,2 (линейное продольное направление);
- ЛПП1,2 (линейное поперечное направление);
- ЛВ1,2 (линейное вертикальное направление).

Индекс 1, 2 относится к номеру юстировочного устройства.

Для устранения смещения подвижных плат 5 в направлении перпендикулярном к перемещению за счет регулировочных винтов 6 используются пластины 10 (по одной на каждую плату). Они с помощью регулировочных винтов 11 (по два винта на каждую пластину) прижимаются к боковой части подвижной платы. На рис. 6 эти пластины не показаны.

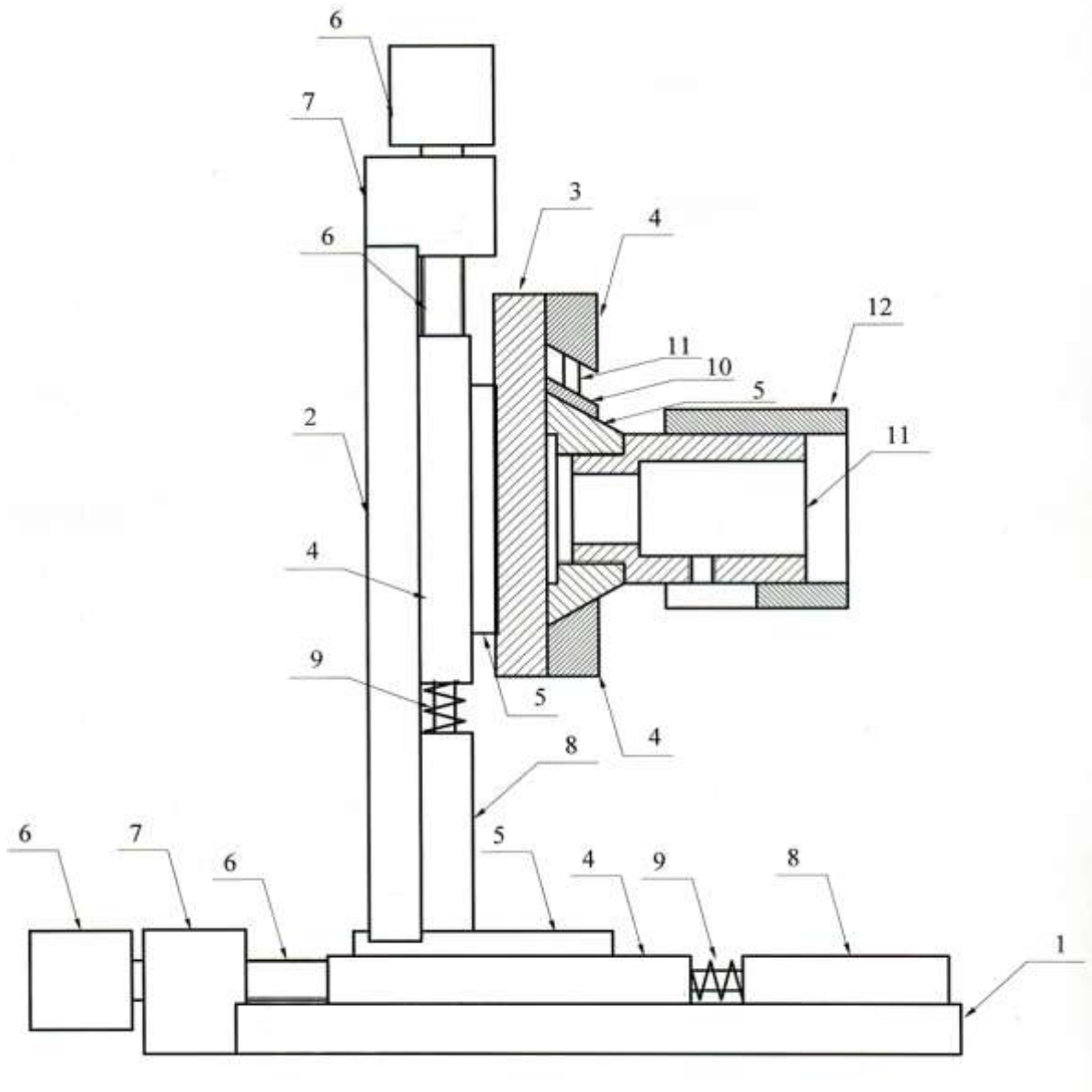


Рис.6.

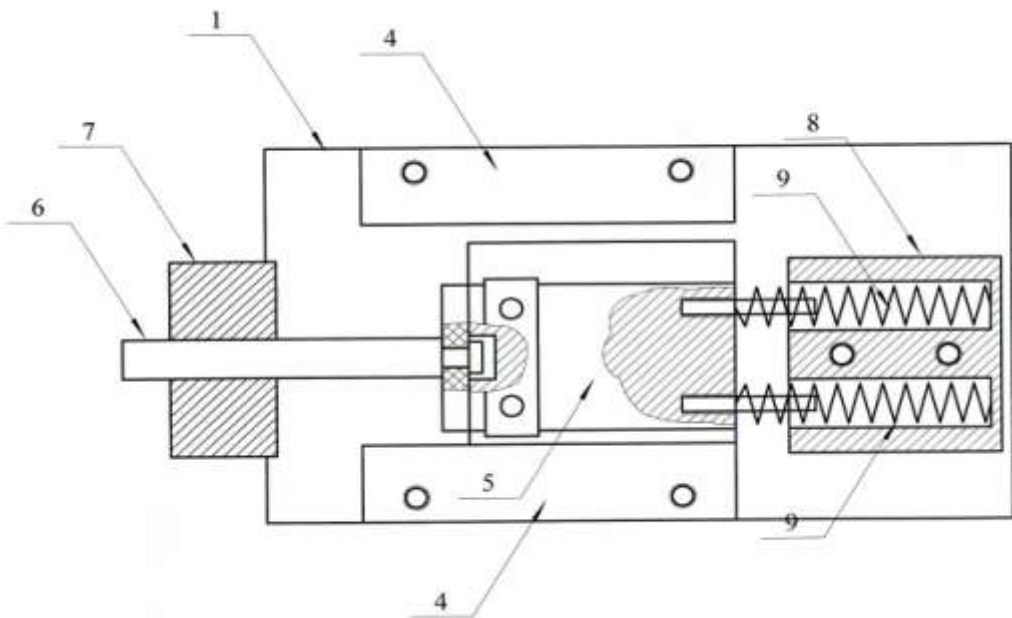


Рис.7.

В процессе эксплуатации установки периодически возникает необходимость в регулировке положения этих пластин для устранения возникающего поперечного люфта подвижной платы. Регулировка осуществляется с помощью винтов ввернутых в одну из боковых поверхностей направляющих 4.

На подвижной плате 5, перемещающейся в поперечном направлении крепится либо оправка для коннектора световода (ЮУ1), либо оправка для крепления телекамеры (ЮУ2).

На рис. 5 показана оправка для крепления телекамеры 11 со шторкой 12. Последняя служит для устранения паразитной засветки телекамеры. Она может свободно передвигаться вдоль оправки 11.

В состав узла, осуществляющего угловое перемещение (рис 7), входят три вложенных друг в друга кольца 1, 2, 3. Внешнее кольцо 1 жестко связано с основанием 4. Кольца 2 и 3 закреплены так, что обеспечивается их вращение вокруг горизонтальной (2) или вертикальной (3) оси. Вращение осуществляется с помощью микрометрических винтов 5 (маркировка УГ - угловое горизонтальное перемещение) и 6 (маркировка УВ - угловое вертикальное перемещение).

Во внутреннем кольце 3 узла крепится либо оправка с лазерным диодом ЛД2 или СИД, либо оправка с коннектором световода. Оправка для ЛД2 и СИД выполнена неразъемной с кольцом 3. Оправка для коннектора световода съемная. На рис.7 приведен эскиз для последнего случая.

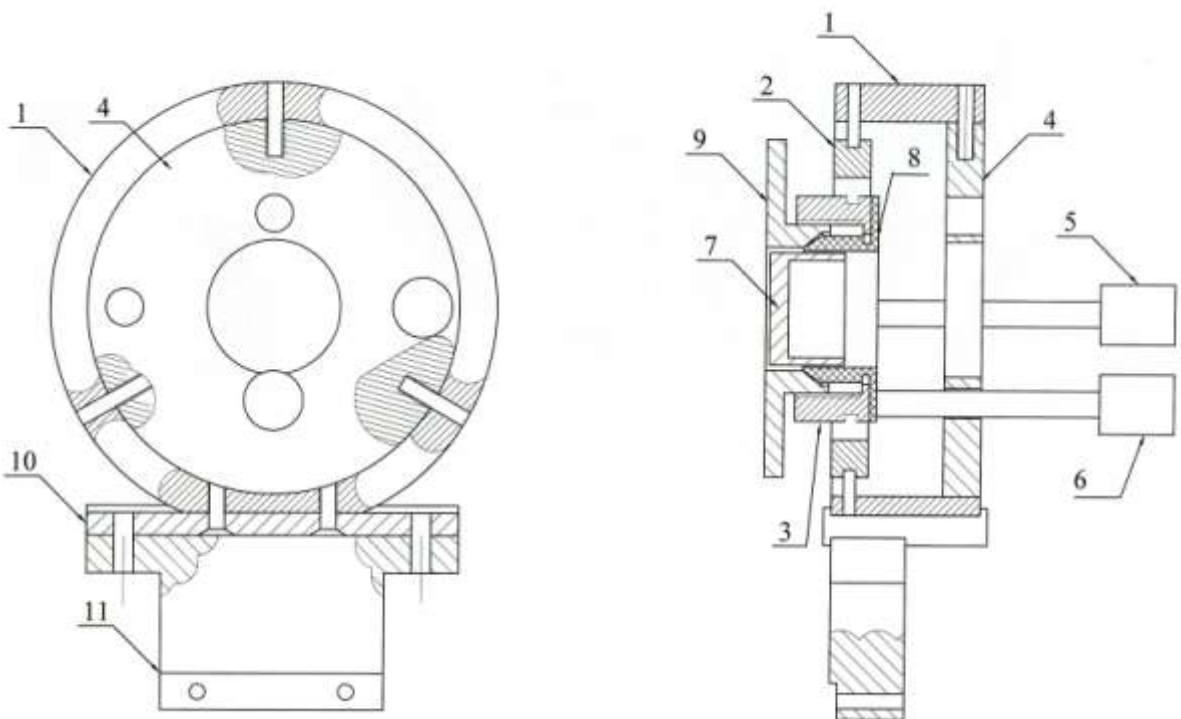


Рис.8.

Оправка для коннектора световода 7 крепится в цанговом зажиме, образованном капролоновым фиксатором 8 и фигурной гайкой 9. Фиксатор 8 укреплен на внутреннем кольце 3. При вворачивании гайки 9 по резьбе на внутренней стороне кольца 3 лепестки фиксатора зажимают оправку 7.

Узел, осуществляющий угловое перемещение, с помощью переходной пластины 10 и стойки 11 крепится к торцу основания 1 (рис. 5)

11. Узел измерения потерь на изгибе световода (УИП). Эскиз узла приведен на рис. 6. Световод 1, в качестве которого используется либо одномодовый световод без защитной оболочки (желтый цвет буферного покрытия) с коннекторами типа FC –UPS, либо многомодовый световод без защитной оболочки с коннекторами типа FC-PC, закрепляется в двух фиксаторах 2 с помощью винтов 3. Отрезок световода между фиксаторами пропускается между подвижными 4 и неподвижными 5 стойками скремблера.

Фиксаторы 2 перемещаются вдоль направляющих 6 при изменении положения подвижных стоек 5. Возвратное движение фиксаторов осуществляется за счет пружин. Фиксаторы, направляющие и пружины закреплены на подвижных основаниях 7.

Шесть неподвижных стоек 4 закреплены на неподвижном основании 8. В нем выполнены продольные пазы, в которых перемещаются пять подвижных стоек 5. Перемещение подвижных стоек осуществляется с помощью микрометрического винта 9.

В исходном состоянии подвижные стойки должны быть перемещены в такое положение, при котором участок световода не деформируется. При этом должно быть обеспечено незначительное натяжение световода за счет пружин, связанных с фиксаторами 3.

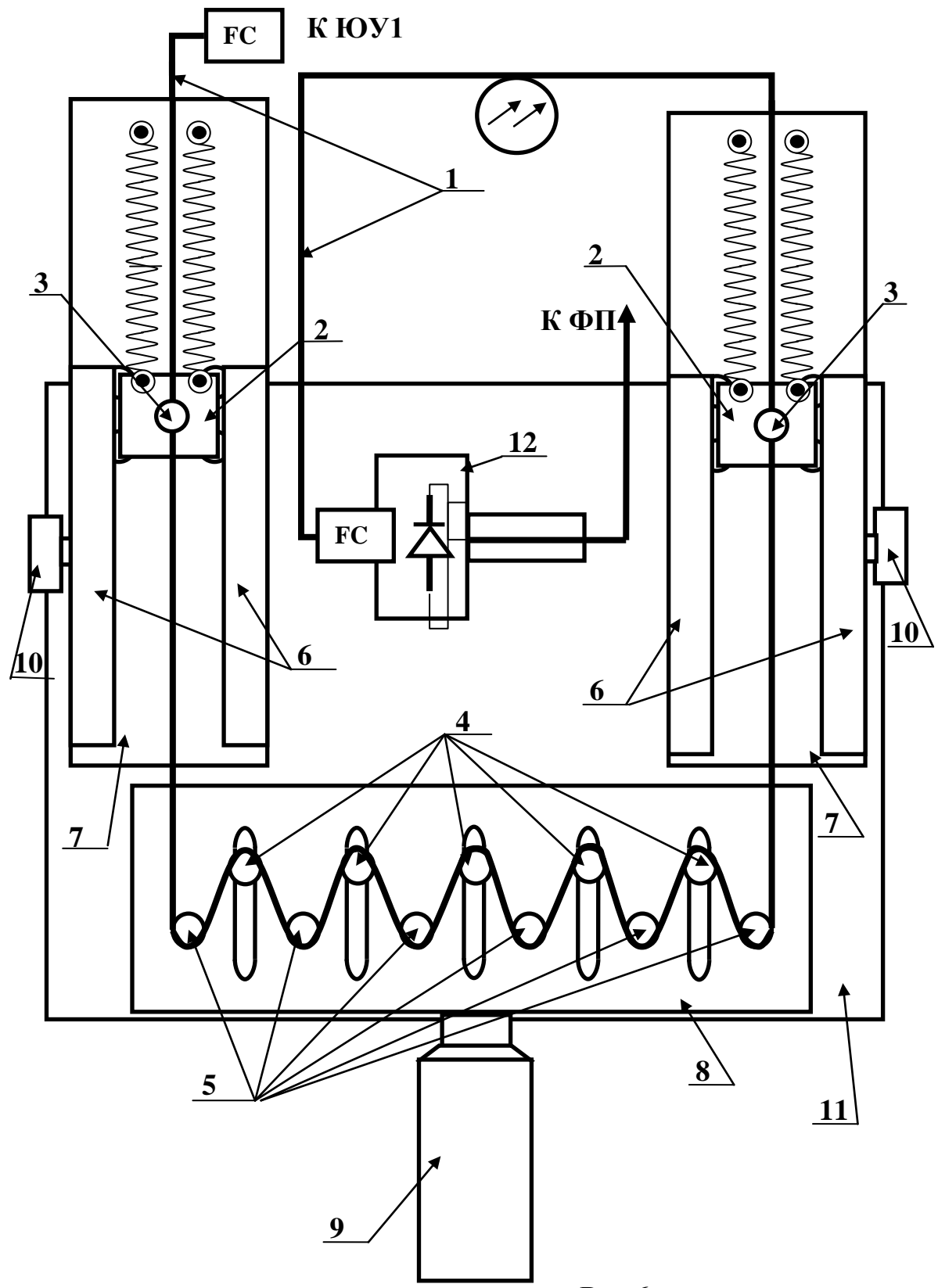


Рис.6

Перемещение подвижных стоек вверх приводит к изгибу световода. Радиус изгиба совпадает с радиусом стойки, а длина изогнутого участка изменяется при движении стоек. Перемещение подвижной стойки L

отмечается по шкале микрометрического винта 9. Для известного диаметра стойки D и расстояния между стойками d=20 мм длина изогнутого участка определяется выражением:

$$l = D * (\arcsin((D/(L^2 + d^2)^{1/2}) + \operatorname{arctg}(L/d))).$$

При возвратном движении подвижных стоек световод за счет натяжения пружин, связанных с фиксаторами, также возвращается в исходное положение.

В комплект УИП входит набор сменных стоек с различными диаметрами - 5, 7, 9, 11, 13, 15 мм-, что позволяет проводить измерение потерь на этих диаметрах.

При изменении диаметра стойки изменяется положение световода относительно крайних неподвижных стоек. Правильным является положение световода, при котором он расположен параллельно направляющим 6. Для обеспечения этого основания 7 вместе со световодом и элементами его крепления перемещаются в поперечном направлении. Перемещение осуществляется с помощью винтов 10.

Вся конструкция крепится к плате 11. На ней также располагается оправка 12 с фотодиодом. Ее внутренний диаметр выбран таким образом, чтобы оправка коннектора исследуемого световода 1стыковалась с ней. При этом световой поток из выходного торца исследуемого световода полностью попадает на чувствительную площадку фотодиода. Оправка для коннектора – съемная. Она используется длястыковки выходного торца световода как с фотодиодом, так и с телекамерой. В последнем случае она вставляется в юстировочное устройство ЮУ2;

Лабораторная работа №1. «Качественный анализ модовой структуры волоконных световодов.».

Цель работы:

- определить причину появления модовых шумов в волоконно-оптической линии связи;
- исследовать модовый состав волоконных световодов по распределению интенсивности в их поперечном сечении.

Порядок выполнения работы.

Внимание! Перед каждым использованием в измерениях волоконных шнурков необходимо снять защитные колпачки с их торцов. После окончания работы с волоконным шнуром обязательно установить на его торцы снятые защитные колпачки.

В данной лабораторной работе используются следующие элементы (рис.1):

- электронный блок питания «Блок питания излучателя»;
- лазерный диод ЛД;
- юстировочные устройства ЮУ1 и ЮУ2;
- многомодовый и одномодовый волоконный световод ВС;
- блок выделения строки БВС.

1. Закрепить входной торец многомодового (зеленый цвет защитной оболочки) световода в узел юстировочного устройства ЮУ1, осуществляющий линейное перемещение (рис.6). Для этого выполнить следующие операции.

1.1. С помощью микрометрического винта ЛПР1 переместить узел, осуществляющий линейное перемещение, в крайнее левое положение.

1.2. Пропустить световод через отверстия в платах 2, 3 (рис.6).

1.3. Закрепить коннектор FC световода в оправке 10, навернув фиксирующий винт коннектора.

2. Закрепить выходной торец световода в узел юстировочного устройства ЮУ2, осуществляющий угловое перемещение (рис.8). Для этого выполнить следующие операции.

2.1. С помощью микрометрического винта ЛПР2 переместить узел, осуществляющий линейное перемещение, в крайнее левое положение.

2.2. С помощью фигурной гайки 9 (рис. 8) ослабить цанговый зажим и извлечь оправку 7.

2.3. Закрепить коннектор FC световода в оправке 7, навернув фиксирующий винт коннектора.

2.4. Вставить оправку в цанговый зажим и зафиксировать ее завернув фигурную гайку 9.

3. Установить:

-ручку потенциометра регулировки тока накачки на лицевой панели БПИ (рис.2) в крайнее положение против часовой стрелки;

-кнопочный переключатель пределов изменения тока накачки – в положение 50 мА.

-с помощью соединительного кабеля подключить ЛД (рис.1) к БПИ. Соединение осуществляется с помощью разъема РС 4 ТВ, блочная часть которого расположена на лицевой панели.

4. Включить тумблер «сеть» на лицевой панели блока БПИ. При этом загорается его подсветка.

5. Включить питание монитора БВС (рис.1), нажав кнопочный переключатель на лицевой панели монитора. При этом после его прогрева наблюдается слабое свечение экрана монитора. В данной работе используется только монитор.

6. С помощью потенциометра, расположенного на лицевой панели БПИ установить значение тока накачки лазерного диода $I_h = 15\text{mA}$. Контроль тока накачки осуществляется по цифровому индикатору на лицевой панели.

7.Выходной торец световода расположен напротив телекамеры. Оба элемента закреплены во втором юстировочном устройстве ЮУ2 (рис.5). Изменяя угловое положение торца световода относительно телекамеры с помощью микрометрических винтов УВ2 и УГ2 и перемещая телекамеру в двух поперечных направлениях с помощью микрометрических винтов ЛПП2 и ЛВ2, добиться появления изображения торца световода на экране монитора.

8.Используемый в данном эксперименте лазерный диод расположен в узле юстировочного устройства ЮУ1, осуществляющем угловое перемещение (рис.5). Необходимо добиться, чтобы его излучение попадало на входной торец волоконного световода, который расположен в этом же юстировочном устройстве (в узле, осуществляющем линейное перемещение). Изменяя угловое положение ЛД относительно торца световода с помощью микрометрических винтов УВ1 и УГ1 и перемещая оправку со входным торцом световода в двух поперечных направлениях относительно ЛД2 с помощью микрометрических винтов ЛПП2 и ЛВ2, добиться появления на выходном торце световода светового пятна, которое наблюдается на экране монитора. Регулировку положения источника и входного торца световода производить методом последовательных приближений, добиваясь максимальной яркости наблюдаемого пятна.

9.В юстировочном устройстве ЮУ2 предусмотрена возможность продольного перемещения телекамеры относительно торца световода с помощью микрометрического винта ЛПР2. При этом изменяется линейный масштаб изображения, наблюдаемого на экране монитора. Перемещая телекамеру в продольном направлении с помощью микрометрического винта ЛПР2, приближая ее к выходному торцу световода, следует добиться четкого изображения светящегося торца световода на экране монитора. Изображение должно занимать приблизительно половину экрана монитора. Изменяя угловое положение торца световода относительно микрообъектива телекамеры и перемещая телекамеру по двум поперечным направлениям с помощью соответствующих микрометрических винтов, необходимо добиться того, чтобы изображение светящегося пятна находилось в центре экрана монитора и при этом имело бы форму окружности.

10.При правильном выполнении всех юстировочных операций на экране монитора наблюдается распределение интенсивности в поперечном сечении исследуемого световода. Может оказаться, что яркость изображения чрезмерно высока, что затрудняет наблюдение деталей изображения. В этом случае следует уменьшить долю оптической мощности источника излучения, которая вводится в исследуемый световод. Этого можно добиться двумя способами,

Первый. Сместить входной торец световода относительно ЛД. Смещение может производиться как с помощью микрометрических винтов УВ1, УГ1 (по углу ввода излучения в световод), так и с помощью микрометрических винтов ЛПП1, ЛВ1 (линейное смещение торца световода относительно источника). Используя эти возможности добиться появления на

экране монитора спекловой структуры - в пределах засвеченной световодом области должны наблюдаться отдельные мелкие светлые пятна, ограниченные темными областями. Положение их нестабильно и подвержено случайным флюктуациям. Это обусловлено когерентностью излучения ЛД.

Второй. Повернуть поляризатор вокруг оси так, чтобы оптическая мощность, вводимая в световод, была бы оптимальна для проведения измерений.

11.После выполнения всех юстировочных операций, не меняя пределов изменения тока накачки, уменьшить его до нуля, установив ручку потенциометра на лицевой панели БПИ в крайнее положение против часовой стрелки. При этом светящееся пятно на экране монитора исчезнет, так как генерация излучения отсутствует.

12.Плавно увеличивать величину тока накачки с помощью потенциометра и следить за возникающим светящимся пятном на экране монитора. При токе накачки I_h меньшим порогового значения на экране монитора должно наблюдаться светящееся пятно с равномерной засветкой. Картина стабильна, что свидетельствует об отсутствии интерференции между различными модами световода.

13.Дальнейшее увеличение тока накачки должно привести к появлению на экране монитора спекловой структуры - в пределах засвеченной световодом области должны наблюдаться отдельные мелкие светлые пятна, ограниченные темными областями. Положение их нестабильно и подвержено случайным флюктуациям. Это обусловлено когерентностью излучения ЛД.

14.Зафиксировать значение тока накачки I_0 , которое соответствует появлению спекловой структуры излучения из торца световода.

15.Уменьшить до нуля значение тока накачки I_h установив ручку потенциометра на лицевой панели БПИ в крайнее положение против часовой стрелки. При этом светящееся пятно на экране монитора исчезнет, так как генерация излучения отсутствует.

16.Заменить многомодовый световод на одномодовый. Повторив операции, предусмотренные в пункте 1 и 2.

17.Повторить операции, предусмотренные пунктами 2-11 данного описания.

18.Плавно увеличивать величину тока накачки с помощью потенциометра на лицевой панели БПИ и следить за возникающим светящимся пятном на экране монитора. При токе накачки I_h меньшим порогового значения, определенного ранее при выполнении предыдущих лабораторных работ, на экране монитора должно наблюдаться светящееся пятно с равномерной засветкой. Дальнейшее увеличение тока накачки приводит к тому, что проявляется модовая структура исследуемого световода. Размеры поперечного сечения и значения коэффициентов преломления анализируемого световода обеспечивают одномодовый режим на длине волны $\lambda=1,3$ мкм. В данном эксперименте используется источник с $\lambda=0,67$ мкм. Поэтому световод уже не является одномодовым. В нем могут распространяться порядка 5 мод. Это обстоятельство делает картину

распределения интенсивности в поперечном сечении регулярной, в отличие от многомодового световода, рассмотренного ранее.

19. Проанализировать распределение интенсивности в поперечном сечении одномодового световода по картине, наблюдаемой на экране монитора. Изменяя угловое положение источника оптического излучения относительно торца входного световода с помощью микрометрических винтов УВ1 и УГ1 юстировочного устройства ЮУ1 проследить за изменением распределения интенсивности в поперечном сечении, наблюдаемом на экране монитора. Зарисовать качественно все возможные картины распределения, которые могут быть получены при изменении положения входного торца световода относительно источника излучения.

Лабораторная работа №2. «Экспериментальное определение числовой апертуры волоконных световодов».

Цель работы:

-произвести экспериментальное определение числовой апертуры одномодового и многомодового световода.

Предварительные замечания.

При измерении числовой апертуры световодов микрообъектив телекамеры должен быть обязательно снят.

Под числовой апертурой НА волоконного световода понимается синус угла ϕ , под которым луч света, падающий на его торец, испытывает полное внутреннее отражение на границе раздела сердечник – оболочка. Для ее экспериментального определения исследуется расходимость излучения из торца световода. На рис. 9 показан ход крайних лучей, выходящих из торца возбужденного световода. Угол ϕ , который они составляют с осью световода и определяет значение числовой апертуры НА.

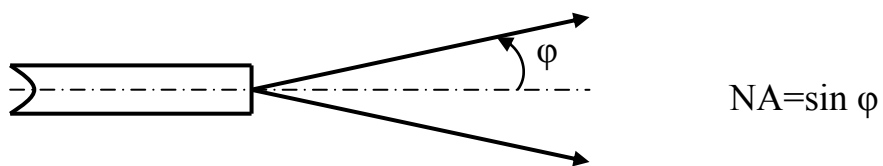


Рис.9.

Для измерения числовой апертуры анализируется излучение из торца возбужденного оптическим источником световода. В качестве оптического источника может быть использован лазерный диод ЛД если светоизлучающий диод СИД. Оба источника входят в состав поставляемой аппаратуры.

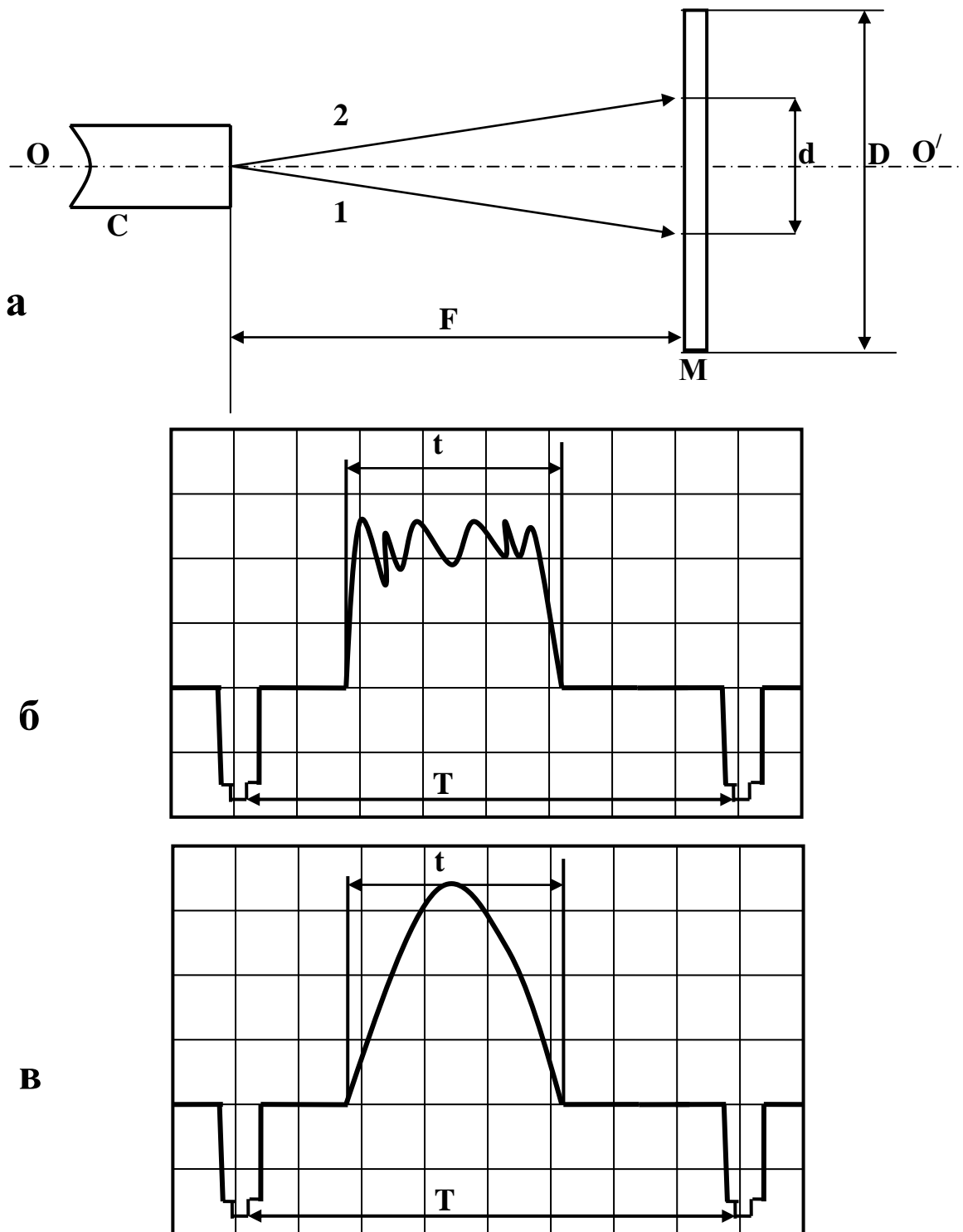


Рис.10.

Выходной торец световода находится в поле зрения телекамеры и на экране монитора возникает его изображение. Выделение строки изображения

с помощью телевизионного осциллографа (смотри описание к предыдущей лабораторной работе) позволяет анализировать распределение интенсивности в его поперечном сечении.

На рис.10.а показан торец световода С и лучи 1, 2, ограничивающие световой конус, в котором концентрируется излучение, выходящее из него. Лучи попадают на матрицу ПЗС (М на рис.10.а.) телекамеры, с помощью которой формируется телевизионный сигнал. На рис. 10.а. отмечен диаметр светового пятна t , соответствующий излучению из торца световода на расстоянии F от его торца и горизонтальный размер матрицы T .

Изображение проекции светового конуса на матрицу М наблюдается на экране монитора в виде светлого пятна. С помощью осциллографа и блока выделения строки может быть выделена одна из строк телевизионного сигнала. Примерный вид осцилограммы, соответствующей строке, которая приходится на середину пятна, показан на рис.10.б, 10.в.

Рис.10.б. соответствует случаю возбуждения исследуемого световода с помощью лазерного диода ЛД. Вследствие когерентности его излучения на торце световода наблюдается интерференционная картина, которая образуется всеми возможными модами (спекл). В результате осцилограмма, соответствующая светящемуся пятну сильно изрезана. Это может помешать проведению измерений.

Рис.10.в. соответствует случаю возбуждения исследуемого световода с помощью светоизлучающего диода СИД. Его излучение некогерентно и интерференция между модами отсутствует.

Диаметру пятна соответствует размер t , отмеченный на осцилограмме. Горизонтальному размеру матрицы D соответствует на осцилограмме расстояние между соседними строчными гасящими импульсами T . Размер D для используемой в макете телекамеры известен и составляет $D = \dots$. Поэтому может быть определен реальный размер пятна D путем измерений по осцилограмме величин t и T :

$$d = t D/T.$$

Значение числовой апертуры вычисляется из элементарных тригонометрических соображений по измеренному значению расстояния:

$$NA = \text{SIN}(\phi) = d / (\sqrt{d^2 + D^2}).$$

Порядок выполнения работы.

Внимание! Перед каждым использованием в измерениях волоконных шнурков необходимо снять защитные колпачки с их торцов. После окончания работы с волоконным шнуром обязательно установить на его торцы снятые защитные колпачки.

В данной лабораторной работе используются следующие элементы (рис1):

- электронный блок «**Блок питания оптического источника**»;
- лазерный диод ЛД или СИД;
- юстировочные устройства ЮУ1 и ЮУ2;
- одномодовый световода без защитной оболочки (желтый цвет буферного покрытия) с коннекторами типа FC –UPS;
- многомодовый световод (зеленый цвет защитной оболочки) с коннекторами типа FC - РС;
- блок выделения строки (БВС).

1. Закрепить входной торец многомодового (зеленый цвет защитной оболочки) световода в узел юстировочного устройства ЮУ1, осуществляющий линейное перемещение (рис.5). Для этого выполнить следующие операции.

1.1. С помощью микрометрического винта ЛПР1 переместить узел, осуществляющий линейное перемещение, в крайнее левое положение.

1.2. Пропустить световод через отверстия в платах 2, 3.

1.3. Закрепить коннектор FC световода в оправке 10, навернув фиксирующий винт коннектора.

2. Закрепить выходной торец световода в узел юстировочного устройства ЮУ2, осуществляющий угловое перемещение (рис.8). Для этого выполнить следующие операции.

2.1. С помощью микрометрического винта ЛПР2 переместить узел, осуществляющий линейное перемещение, в крайнее левое положение.

2.2. С помощью фигурной гайки 9 (рис. 8) ослабить цанговый зажим и извлечь оправку 7.

2.3. Закрепить коннектор FC световода в оправке 7, навернув фиксирующий винт коннектора.

2.4. Вставить оправку в цанговый зажим и зафиксировать ее завернув фигурную гайку 9.

3. Установить:

-ручку потенциометра регулировки тока накачки на лицевой панели БПИ (рис.2) в крайнее положение против часовой стрелки;

-кнопочный переключатель пределов изменения тока накачки – в положение 50 мА.

-с помощью соединительного кабеля подключить ЛД или СИД (рис.1) к блоку БПИ. Соединение осуществляется с помощью разъема РС 4 ТВ, блочная часть которого расположена на лицевой панели;

-закрепить выбранный оптический источник в оправке 8 (рис.5).

4. Включить тумблер «сеть» на лицевой панели блока БПИ. При этом загорается его подсветка. С помощью потенциометра установить значение тока накачки лазерного диода $I_h = 20\text{mA}$. Контроль тока накачки осуществляется по стрелочному прибору на лицевой панели.

5. Включить питание БВС, нажав кнопочный переключатель на лицевой панели монитора. При этом после его прогрева наблюдается слабое свечение экрана монитора.

6. Выходной торец световода расположен напротив телекамеры. Оба элемента закреплены во втором юстировочном устройстве ЮУ2 (рис.5). Изменяя угловое положение торца световода относительно телекамеры с помощью микрометрических винтов УВ2 и УГ2 и перемещая телекамеру в двух поперечных направлениях с помощью микрометрических винтов ЛПП2 и ЛВ2, добиться появления изображения торца световода на экране монитора.

7. Исследуемый в данном эксперименте лазерный диод расположен в узле юстировочного устройства ЮУ1, осуществляющем угловое перемещение (рис.5). Необходимо добиться, чтобы его излучение попадало на входной торец волоконного световода, который расположен в этом же юстировочном устройстве (в узле, осуществляющем линейное перемещение). Изменяя угловое положение ЛД относительно торца световода с помощью микрометрических винтов УВ1 и УГ1 и перемещая оправку со входным торцом световода в двух поперечных направлениях относительно ЛД с помощью микрометрических винтов ЛПП2 и ЛВ2, добиться появления на выходном торце световода светового пятна, которое наблюдается на экране монитора. Регулировку положения источника и входного торца световода производить методом последовательных приближений, добиваясь максимальной яркости наблюдаемого пятна.

При необходимости, если наблюдается чрезмерный контраст изображения на экране монитора, уменьшить уровень мощности, повернув поляризатор на ЛД.

8. Включить питание осциллографа. Его органы управления установлены в положение, при котором осцилограмма на его экране соответствует одной из строк видеосигнала, наблюдаемого на экране монитора.

9. С помощью микрометрического винта ЛПР2 переместить телекамеру в положение, при котором свящающееся пятно, наблюдаемое на мониторе, займет примерно половину его экрана.

10. Используя органы управления режимом развертки осциллографа добиться появления на его экране осцилограммы, соответствующей рис.9. Отметить положение переключателя ступенчато регулирующего длительность развертки (дел/мксек) – R и расстояние между строчными импульсами T (рис.9) Данные измерений занести в заголовок таблицы 1.

11. С помощью кнопок «↑», «↓» осуществляется передвижение выделяемой строки вверх или вниз по изображению на экране монитора добиться максимальной ширины импульса, соответствующего светящемуся пятну. Этим обеспечивается выделение строки, приходящейся на центр светового пятна. Для повышения точности измерений следует уменьшить период развертки с помощью переключателя ступенчато регулирующего длительность развертки (дел/мксек). Отметить его новое положение R₀.

12. Попытаться уменьшить размер пятна на экране монитора и соответствующего ему импульса на осцилограмме, изменяя угловое положение торца световода относительно телекамеры с помощью

микрометрических винтов УВ2 и УГ2. Этим обеспечивается коррекция параллельности фокальной плоскости объектива и плоскости, в которой расположен торец световода. После этого скорректировать положение выделяемой строки, повторив действия, описанные в пункте 11.

13. Попытаться уменьшить размер пятна, перемещая в поперечных направлениях телекамеру относительно торца световода с помощью микрометрических винтов ЛПП2 и ЛВ2. Этим обеспечивается коррекция положения торца световода относительно оптической оси ОО' (рис.9). После этого скорректировать положение выделяемой строки, повторив действия, описанные в пункте 11. Отметить окончательное положение переключателя ступенчато регулирующего длительность развертки (дел/мксек) – R_0 и соответствующую ширину наблюдаемого на осциллографме импульса – t_0 . Данные измерений занести в таблицу 1.

Таблица 1. Измерение числовой апертуры волоконного световода.

$T = \dots$; $R = \dots$.

t_i (дел)	t_0	t_1		t_n
R_i (дел/мксек)	R_0	R_1		R_n
F_i (мм)	F_0	F_1		F_n
d_i (мм)	d_0	d_1		d_n
NA	-----	NA ₁		NA _n

14. По шкале на микрометрическом винте ЛПР2 отметить значение расстояния $F = F_0$ (в дальнейшем используется для расчетов только величины изменения этого расстояния относительно исходного F_0 , поэтому его истинное значение может не совпадать с измеренным). Данные измерений занести в таблицу 1.

15. Повторить измерения, предусмотренные пунктами 11-14 для расстояний $F = F_{1,2,\dots,n}$. При этом все отсчеты $F_{1,2,\dots,n} < F_0$. Число измерений n указывается преподавателем. Данные измерений занести в таблицу 1.

16. По данным таблицы 1 определить размер светящегося пятна по формуле:

$$d_i = t_i (D/T) (R/R_i).$$

Вычисленные значения занести в таблицу 1.

17. Вычислить значение числовой апертуры NA, считая отсчет расстояния F_0 исходным:

$$NA_i = (d_0 - d_i) / (\sqrt{((d_0 - d_i)^2 + (F_0 - F_i)^2)}).$$

Измеренное значение числовой апертуры соответствует среднему значению:

$$NA = (\sum(NA_i)) / (n-1).$$

18. Заменить многомодовый световод на одномодовый. Для этого выполнить операции, предусмотренные в пунктах 1 и 2.

19. Используя методику измерений, описанную выше, произвести измерение числовой апертуры одномодового световода

Лабораторная работа №3.
«Исследование зависимости удельного коэффициента затухания, вносимого изгибом световода от его радиуса».

Цель работы:

- произвести экспериментальное определение зависимости удельного коэффициента затухания от радиуса изгиба световода для:
 - одномодового световода 9/125 мкм;
 - многомодового световода 62,5/125 мкм.

Измерение провести для двух длин волн $\lambda=0.67$ мкм и $\lambda=1.3$ мкм.

Порядок выполнения работы.

Внимание! Перед каждым использованием в измерениях волоконных шнурков необходимо снять защитные колпачки с их торцов. После окончания работы с волоконным шнуром обязательно установить на его торцы снятые защитные колпачки.

В данной лабораторной работе используются следующие элементы (рис1):

- электронный блок «**Блок питания излучателя**» для длины волны $\lambda=0,67$ мкм;
- лазерный диод ЛД1, работающий на длине волны $\lambda=067$ мкм;
- электронный блок «**Блок питания излучателя**» для длины волны $\lambda=1,3$ мкм с лазерным диодом ЛД2;
- юстировочное устройство ЮУ1 ;
- одномодовый световода без защитной оболочки (желтый цвет буферного покрытия) с коннекторами типа FC –UPS;
- узел измерения потерь на изгибе световода (УИП);
- фотодиод в оправке, закрепленный на площадке УИП;
- электронный блок «**Фотоприемник**»;
- оптический тестер **ОТ**.

Все операции, описанные ниже, одинаковы для обоих типов световодов. Поэтому тип световода в дальнейшем не указывается.

Измерение затухания на длине волны $\lambda=067$ мкм.

Перед проведением измерений необходимо

- установить ЛД1 в оправку на ЮУ1;
- подключить его шнур питания к БПИ;

-перемещая ЛД1 в оправке в продольном направлении добиться, чтобы его излучение фокусировалось в месте расположения торца исследуемого световода.

1. Закрепить входной торец световода в узел юстировочного устройства ЮУ1, осуществляющий линейное перемещение (рис.5). Для этого выполнить следующие операции.

1.1. С помощью микрометрического винта ЛПР1 переместить узел, осуществляющий линейное перемещение, в крайнее левое положение.

1.2. Пропустить световод через отверстия в платах 2, 3.

1.3. Закрепить коннектор FC световода в оправке 10, навернув фиксирующий винт коннектора.

2. Закрепить выходной торец световода в оправку фотодиода ФД (рис.1,10). Для этого выполнить следующие операции.

2.1. Если оправка коннектора 12 (рис.5) установлена в юстировочном узле ЮУ2, следует отвернуть фиксирующий винт ФВ2 и извлечь ее из узла углового перемещения юстировочного устройства ЮУ2.

2.2. Вставить оправку с выходным коннектором в оправку фотодиода 12 (рис.6).

3. Расположить исследуемый световод в УИП (рис.1,6). Для этого выполнить следующие операции.

3.1. Одеть стойки выбранного диаметра на штыри, находящиеся на плате 6 (рис.6).

3.2. Вывернуть микрометрический винт 9, перемещающий подвижные стойки 5 так, чтобы они заняли положение за крайними (рис.6).

3.3. Отвернуть винты 3 фиксаторов2 (рис.6).

3.4. Поместить исследуемый световод между неподвижными и подвижными стойками. Он должен располагаться так, чтобы подвижные стойки находились над световодом, а подвижные под ним (рис.6). Сам световод при этом не должен быть деформирован.

3.5. Поместить исследуемый световод в паз левого фиксатора (рис.6) и закрепить его винтом 3. Винт 3 следует заворачивать с минимальным усилием, обеспечивающим фиксацию световода.

3.6. Поместить исследуемый световод в паз правого фиксатора (рис.6). Слегка натянуть световод так, чтобы пружины фиксаторов 2 незначительно растянулись. Закрепить световод винтом 3. Винт 3 следует заворачивать с минимальным усилием, обеспечивающим фиксацию световода.

3.7. Вворачивая микрометрический винт 9 (рис.6), перемещающий подвижные стойки 5, переместить их вверх так, чтобы они касались исследуемого световода, но не деформировали бы его.

3.8. Отметить начальный отсчет L_0 по шкалам микрометрического винта, соответствующий этому положению средней стойки и занести его в таблицу 1.

4. Установить органы управления электронного блока БПИ в исходное состояние:

-ручку потенциометра регулировки тока накачки на лицевой панели БПИ (рис.2) в крайнее положение против часовой стрелки;

-кнопочный переключатель пределов изменения тока накачки – в положение 50 мА;

-с помощью соединительного кабеля подключить ЛД (рис.1,10) к блоку БПИ. Соединение осуществляется с помощью разъема РС-4-ТВ, блочная часть которого расположена на лицевой панели;

-включить тумблер «сеть» на лицевой панели блока БПИ. При этом загорается его подсветка. С помощью потенциометра регулировка тока накачки установить его значение $I_h = 50\text{mA}$ (максимальная мощность излучения). Контроль тока накачки осуществляется по цифровому индикатору на лицевой панели.

5. Установить органы управления электронного блока «Фотоприемник» в исходное положение:

-кнопочный переключатель «чувствительность» выбора пределов измерения оптической мощности в относительных единицах – в положение 0,001;

-с помощью соединительного кабеля подключить ФД (рис.1) к блоку. Соединение осуществляется с помощью разъема РС-4-ТВ, блочная часть которого расположена на лицевой панели;

-включить тумблер «сеть» на лицевой панели блока «Фотоприемник». При этом загорается его подсветка.

6. Используя микрометрические винты УВ1, УГ1, ЛВ1, ЛП1 юстировочного устройства ЮУ1, установить лазерный диод ЛД и входной торец световода в положение, обеспечивающее ввод оптического излучения в световод. При этом наблюдается рост показаний измерительного прибора «Оптическая мощность» электронного блока «Фотоприемник». При увеличении уровня регистрируемой мощности необходимо переключать фотоприемник на более грубые пределы измерения с помощью кнопочного переключателя «чувствительность» на его лицевой панели.

7. Произвести тщательную юстировку относительного положения ЛД и входного торца световода, обеспечив максимальные показания измерительного прибора. Настройка осуществляется с использованием всех пяти органов управления положением элементов. Установка считается настроенной, если на пределе измерений «1» показания измерительного прибора «Оптическая мощность» электронного блока «Фотоприемник» $q_0 > 1$. Отметить показания измерительного прибора q_0 , соответствующий максимальной мощности на выходном торце невозмущенного световода. Занести это значение в таблицу 1.

8. Изменяя положение подвижных стоек отмечать отсчеты L_i по шкалам микрометрического винта и соответствующие им отсчеты q_i по прибору «Оптическая мощность» электронного блока «Фотоприемник». Данные измерений занести в таблицу 1.

Таблица 1. Измерение удельного коэффициента затухания на изогнутом участке световода. $D = \text{мм}$, $L_0 = \text{мм}$, $q_0 = \text{от.ед.}$.

$L_i(\text{мм})$				
$q_i(\text{от.ед.})$				
$L = L_i - L_0(\text{мм})$				
$l_i(\text{мм})$				
$\gamma_i(\text{дБ/мм})$				

9. После окончания измерений вернуть подвижные стойки в исходное положение, отвернуть винты 3 фиксаторов 2 (рис.6) и извлечь световод из УИП. Отвернуть коннекторы световода от оправок юстировочного устройства и фотодиода.

10. Повторить измерения потерь для других диаметров изгиба. Для этого на стойки одеть втулки соответствующего диаметра и повторить пункты 11, 12 описания.

11. После окончания измерений выполнить следующие операции:

11.1. Отвернуть фиксирующие винты зажимов 10 (рис.10) и освободить световод.

11.2. Отвернуть выходной коннектор световода от оправки фотодиода.

11.3. С помощью микрометрического винта ЛПР1 (рис.5) переместить узел юстировочного устройства ЮУ1, осуществляющий линейное перемещение, в крайнее левое положение.

11.4. Отвернуть коннектор FC входного торца световода от оправки 10, открутив фиксирующий винт коннектора. После этого извлечь его из узла юстировочного устройства ЮУ1, осуществляющего линейное перемещение.

12. Повторить измерения потерь на изгибе для многомодового световода без защитной оболочки, повторив пункты 1 – 14.

13. После окончания измерений провести расчет удельного коэффициента затухания на изгибах разных диаметров для двух типов световодов. Для этого необходимо определить длину изогнутого участка l .

Рис. 11 поясняет выражение, используемое для определения длины изогнутого участка световода. Две окружности представляют собой вид сверху на правую неподвижную и центральную передвигаемую стойку. Линия ВАВ¹ соответствует неизогнутому отрезку световода, заключенному между ними и является касательной к окружностям в точках В и В¹. Расстояние между центрами стоек по горизонтали OS = d = 10мм, расстояние между центрами стоек по вертикали O¹S = L определяется в процессе измерений. BO = B¹O¹ = D/2 – радиус стойки.

Длина изогнутого участка световода определяется длинами дуг окружностей BC и B¹C¹ (рис.11). Легко понять, что они одинаковы, поэтому полная длина изгиба, определяемая всеми тремя стойками равна 4*BC.

Для расчетов следует определить угол BOC. Из элементарных тригонометрических соотношений следует:

$$\angle BOC = \angle OGB = \angle B^1AO^1 + \angle O^1AG^1;$$

$$\angle B^1AO^1 = \arcsin((D/(L^2 + d^2)^{1/2}));$$

$$\angle O^1AG^1 = \arctg(L/d).$$

Окончательно, полная длина изогнутого участка 1 определится выражением:

$$l = 8 D (\arcsin((D/(L^2 + d^2)^{1/2})) + \arctg(L/d)).$$

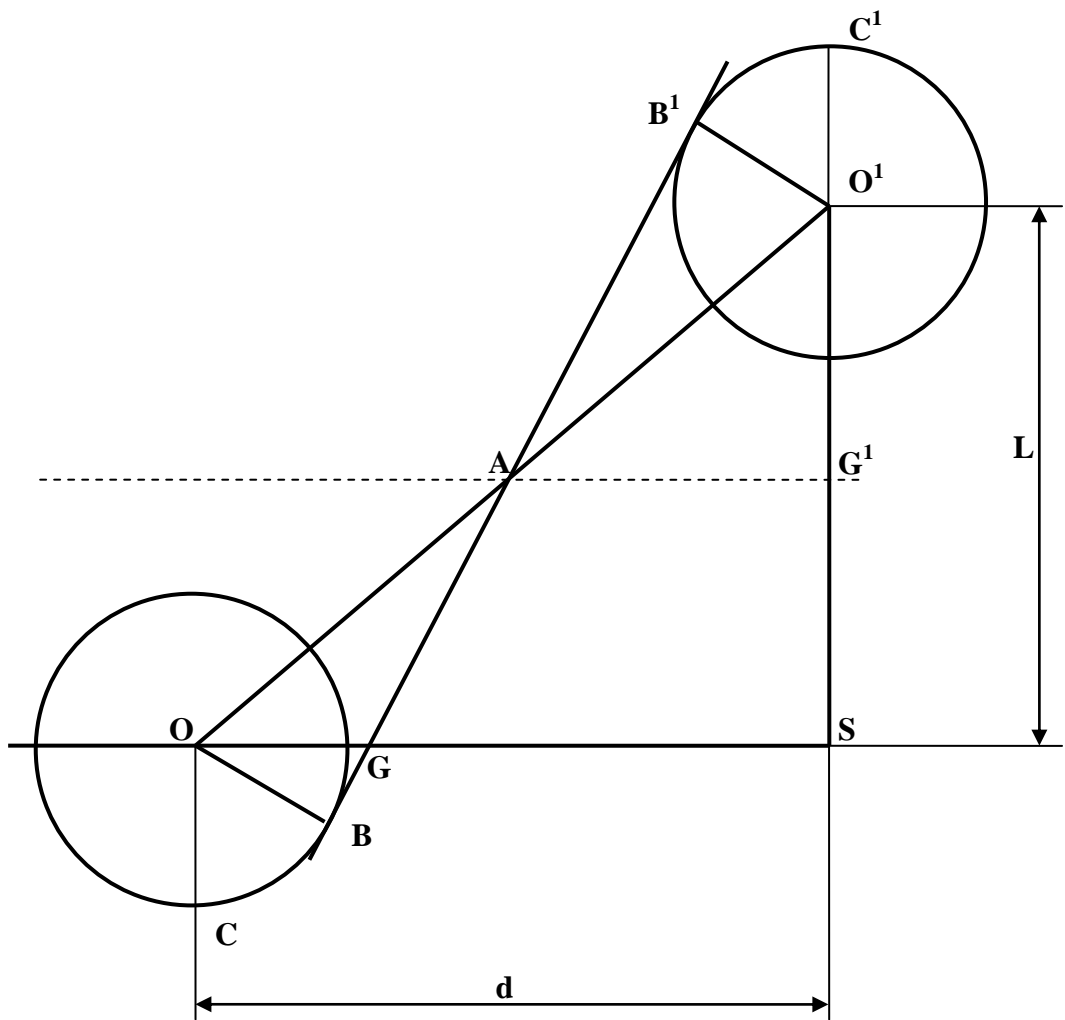


Рис.11

Все углы должны быть выражены в радианах.

Величина удельного коэффициента затухания γ , соответствующая участку длины l определяется соотношением:

$$\gamma_i = 10 * \text{Lg}(q_0 / q_i) / l.$$

Значение удельного коэффициента затухания определяется путем усреднения значения γ_i по всем результатам измерений.

Измерение затухания на длине волны $\lambda=1,3$ мкм.

В этом эксперименте в качестве оптического источника используется ЛД2, работающий на длине волны 1,3 мкм , а в качестве фотоприемника – оптический тестер .

Перед проведением измерений необходимо:

-установить входной коннектор исследуемого световода в оптическую розетку на лицевой панели электронного блока «**Блок питания излучателя**» для длины волны $\lambda=1,3$ мкм ;

-установить выходной коннектор исследуемого световода в оптическую розетку на оптическом тестере.

Никаких дополнительных юстировочных операций проводить не требуется.

Провести измерение потерь по методике, описанной выше – пункты 3 и 8.